

Loi de gestion d'énergie appliquée à un véhicule hybride parallèle pourvu d'un double système de stockage électrique

T. MIRO PADOVANI, A. KETFI-CHERIF
G. COLIN, Y. CHAMAILLARD



✓ Systeme Mild hybride

➤ Machine électrique :

- Alternateur renforcé
- Relié au vilebrequin
- Faible puissance : 10 kW environ

➤ Stockage électrique:

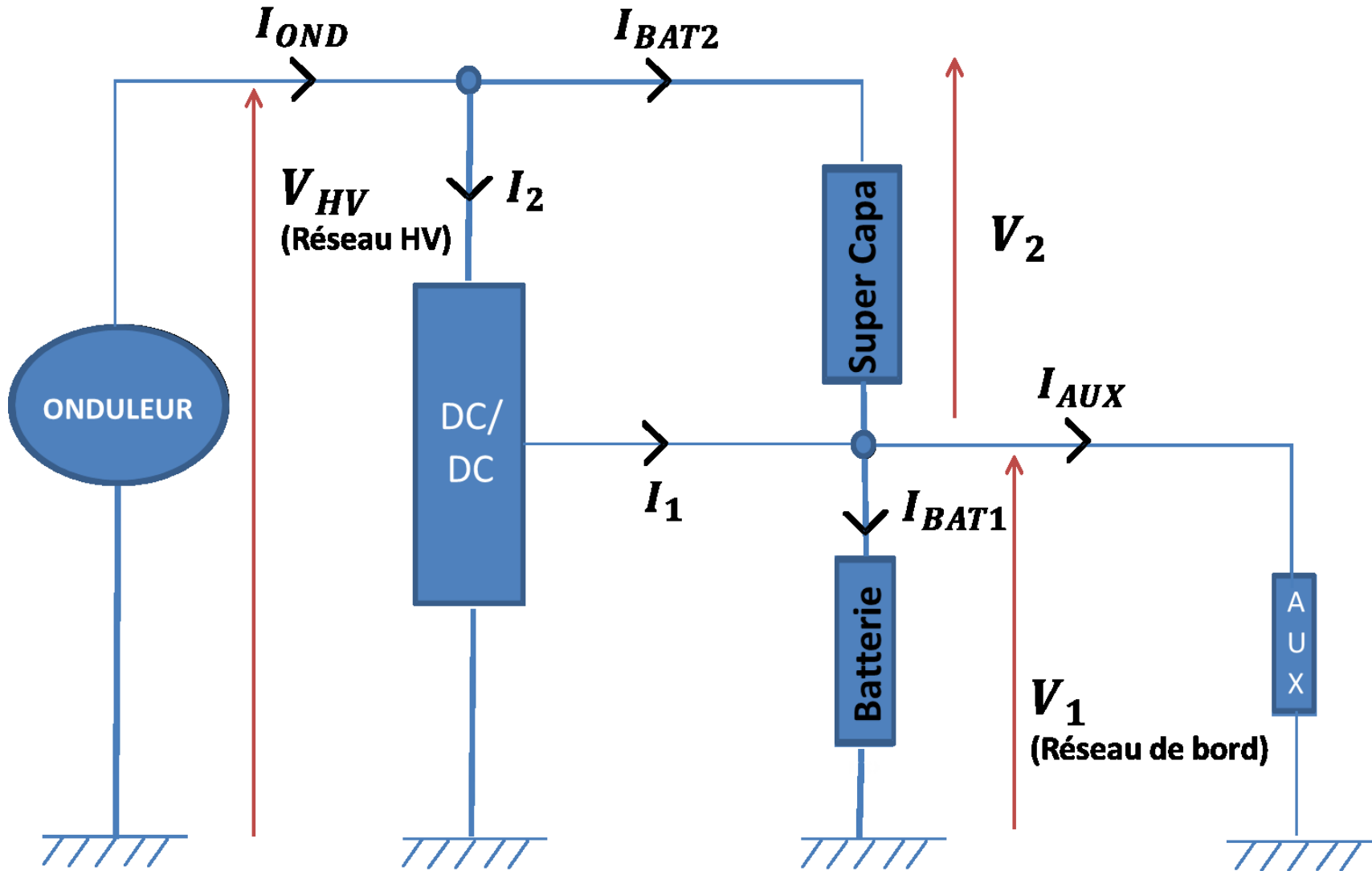
- Pack batterie Li-ion 14V

Associé en série avec :

- Pack de super capacités 36V (Double layer capacitor (DLC))

Reliés par

- Un convertisseur DCDC réversible
- Tension du réseau de traction $\approx 50V$
- Niveau d'énergie embarquée : faible



Mise en équations du système

$$\left\{ \begin{array}{l} V_1 \cdot I_1 = \eta \cdot V_{HV} \cdot I_2 \\ I_{AUX} = \frac{P_{AUX}}{V_1} \\ I_{OND} = \frac{P_{ond}}{V_{HV}} \\ P_{DCDC} = I_1 \cdot V_1 \\ I_{BAT2} = I_{OND} - I_2 \\ I_{BAT1} = I_1 + I_{BAT2} - I_{AUX} \\ V_{HV} = V_1 + V_2 \end{array} \right.$$



$$\left\{ \begin{array}{l} I_2 = \frac{P_{DCDC}}{\eta \cdot V_{HV}} \\ I_{BAT2} = \frac{P_{ond}}{V_{HV}} - I_2 \\ I_{BAT1} = \frac{P_{DCDC}}{V_1} + I_{BAT2} - \frac{P_{AUX}}{V_1} \end{array} \right.$$

$$\mathbf{u} = \left\{ \begin{array}{l} P_{ond} \\ P_{DCDC} \end{array} \right\}; P_{AUX}$$

$$\left\{ \begin{array}{l} V_1 = OCV_{BAT1} + R_{BAT1} \cdot I_{BAT1} \\ V_2 = OCV_{BAT2} + R_{BAT2} \cdot I_{BAT2} \\ V_{HV} = V_1 + V_2 \end{array} \right.$$

$$\mathbf{x} = \begin{cases} SOE_{BAT1} \\ SOE_{BAT2} \end{cases}$$

$$\dot{SOE}_{BAT1}(x_1, \mathbf{u}) = \frac{OCV_{BAT1}(x_1) \cdot I_{BAT1}(x_1, \mathbf{u})}{Emax_{BAT1}}$$

$$SOE_{BAT1}(t) = SOE_{BAT1}(t = t_0) + \frac{1}{Emax_{BAT1}} \int_{t_0}^t OCV_{BAT1}(t) \cdot I_{BAT1}(t) \cdot dt$$

$$\dot{SOE}_{BAT2}(x_2, \mathbf{u}) = \frac{OCV_{BAT2}(x_2) \cdot I_{BAT2}(x_2, \mathbf{u})}{Emax_{BAT2}}$$

$$SOE_{BAT2}(t) = SOE_{BAT2}(t = t_0) + \frac{1}{Emax_{BAT2}} \int_{t_0}^t OCV_{BAT2}(t) \cdot I_{BAT2}(t) \cdot dt$$



Problème de commande optimale

$$J = \int_{t_0}^{t_f} \dot{m}_{fuel}(\mathbf{u}(t), t) \cdot dt + \phi(\mathbf{x}(t_f))$$

Avec :

$$\phi(\mathbf{x}(t_f)) = \begin{cases} 0 & \text{si } \mathbf{x}(t_f) \geq \mathbf{x}_{Target} \\ \infty & \text{sinon} \end{cases}$$

$$\mathbf{u} = \begin{Bmatrix} P_{ond} \\ P_{DCDC} \end{Bmatrix} \quad \mathbf{x} = \begin{Bmatrix} SOE_{BAT1} \\ SOE_{BAT2} \end{Bmatrix}$$

Sujet à :

$$\begin{cases} \dot{\mathbf{x}}(t) = \mathbf{f}(\mathbf{x}(t), \mathbf{u}(t), t) \\ \mathbf{u} \in \mu(t) \\ \mathbf{x} \in \chi \\ \mathbf{x}(t=0) = \mathbf{x}_0 \end{cases}$$

✓ **Contraintes sur les actionneurs**

$$\underline{P}_{ond} \leq P_{ond} \leq \overline{P}_{ond}$$

$$\underline{P}_{DCDC} \leq P_{DCDC} \leq \overline{P}_{DCDC}$$

✓ **Contraintes sur les états**

$$\underline{SoE}_{BAT1} \leq SoE_{BAT1} \leq \overline{SoE}_{BAT1}$$

$$\underline{SoE}_{BAT2} \leq SoE_{BAT2} \leq \overline{SoE}_{BAT2}$$

✓ **Contraintes couplées commandes-états**

$$\underline{V}_1 \leq V_1 \leq \overline{V}_1$$

$$\frac{\underline{V}_1 - OCV_{BAT1}(x_1)}{R_{BAT1}(x_1)} \leq I_{BAT1}(u) \leq \frac{\overline{V}_1 - OCV_{BAT1}(x_1)}{R_{BAT1}(x_1)}$$

$$\frac{\underline{P}_{BAT1}}{V_1} \leq I_{BAT1}(u) \leq \frac{\overline{P}_{BAT1}}{V_1}$$

$$\underline{P}_{BAT2} \leq P_{BAT2}(u) \leq \overline{P}_{BAT2}$$

$$\left\{ \begin{array}{l} \underline{P}_{DCDC} \leq P_{DCDC} \leq \bar{P}_{DCDC} \\ \underline{P}_{ond} \leq P_{ond} \leq \bar{P}_{ond} \\ \frac{P_{BAT2}}{V_2} V_{HV} \leq P_{ond} - \frac{1}{\eta} P_{dc} \leq \frac{\bar{P}_{BAT2}}{V_2} V_{HV} \\ (\underline{P}_{BAT1} + P_{AUX}) \frac{V_{HV}}{V_1} \leq P_{ond} + \left(\frac{V_{HV}}{V_1} - \frac{1}{\eta} \right) P_{dc} \leq (\bar{P}_{BAT1} + P_{AUX}) \frac{V_{HV}}{V_1} \end{array} \right.$$



Écriture générale



$$\left\{ \begin{array}{l} \underline{x} \leq x \leq \bar{x} \\ \underline{y} \leq y \leq \bar{y} \\ \underline{z} \leq y + \alpha x \leq \bar{z} \\ \underline{w} \leq y + \beta x \leq \bar{w} \end{array} \right. \quad \text{avec,} \quad \mathbf{u} = \begin{Bmatrix} x \\ y \end{Bmatrix}$$

$$\begin{cases} \underline{x} \leq x \leq \bar{x} \\ \underline{y} \leq y \leq \bar{y} \\ \underline{z} \leq y + \alpha x \leq \bar{z} \\ \underline{w} \leq y + \beta x \leq \bar{w} \end{cases}$$

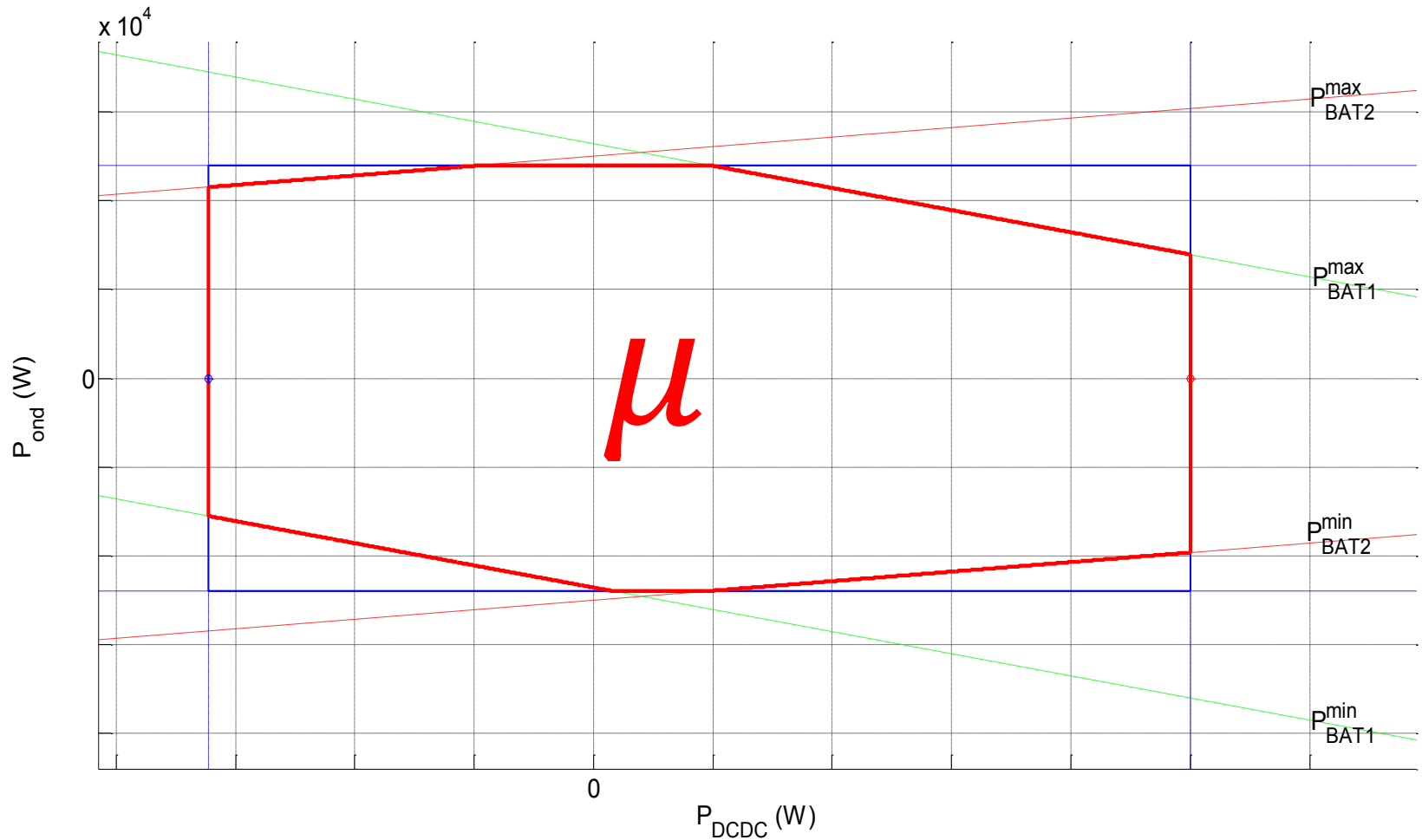
- ✓ Expression des limites sur y en fonction de x

$$\max(\underline{y}, \underline{z} - \alpha x, \underline{w} - \beta x) \leq y \leq \min(\bar{y}, \bar{z} - \alpha x, \bar{w} - \beta x)$$

- ✓ On en déduit les limitations sur x

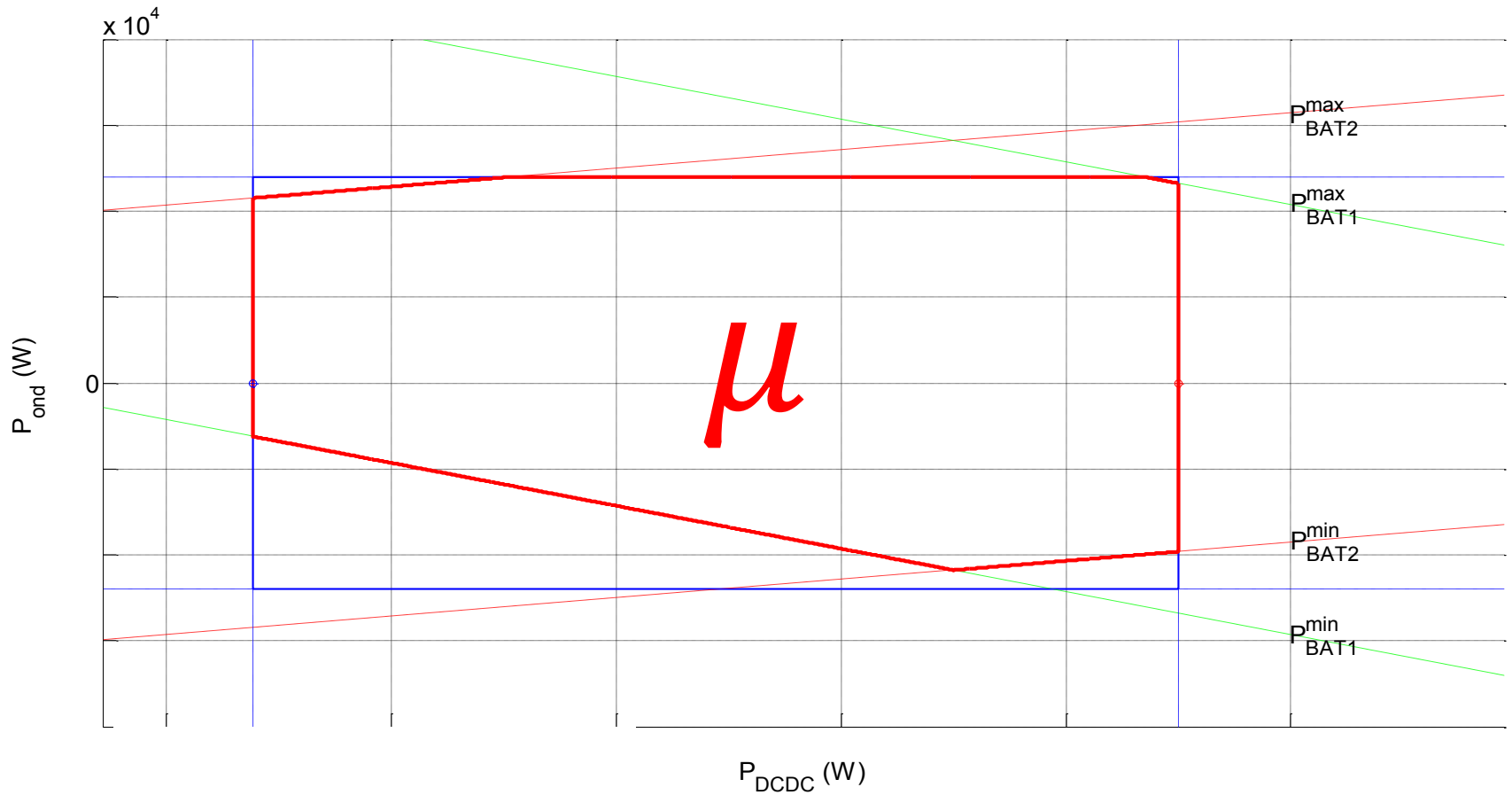
$$\max\left(\underline{x}, \frac{\underline{w} - \bar{y}}{\beta}, \frac{\bar{z} - \underline{y}}{\alpha}, \frac{\underline{w} - \bar{z}}{\beta - \alpha}\right) \leq x \leq \min\left(\bar{x}, \frac{\bar{w} - \underline{y}}{\beta}, \frac{\underline{z} - \bar{y}}{\alpha}, \frac{\underline{z} - \bar{w}}{\alpha - \beta}\right)$$

✓ Paramètres nominaux

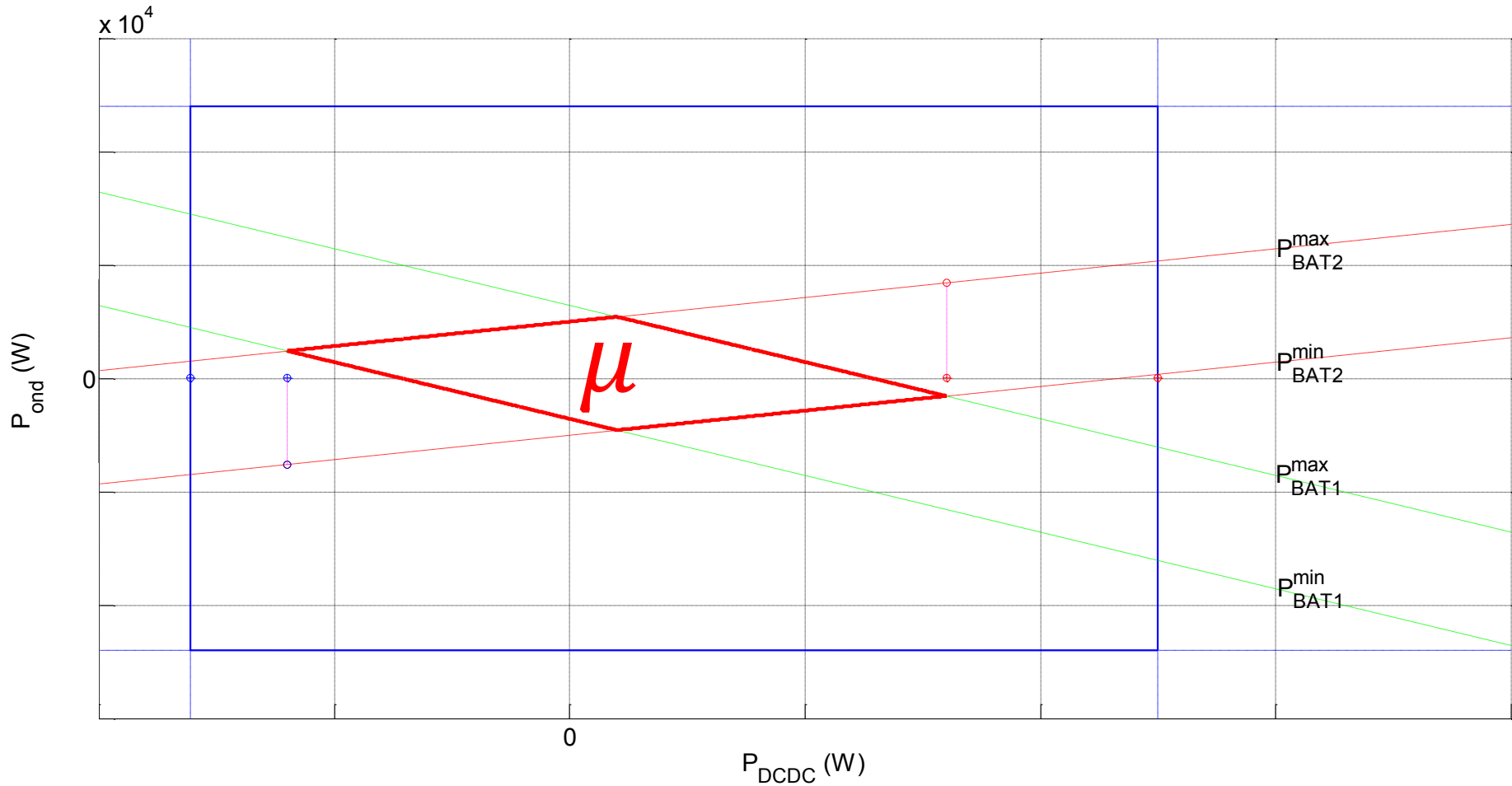


Représentation du domaine de commande

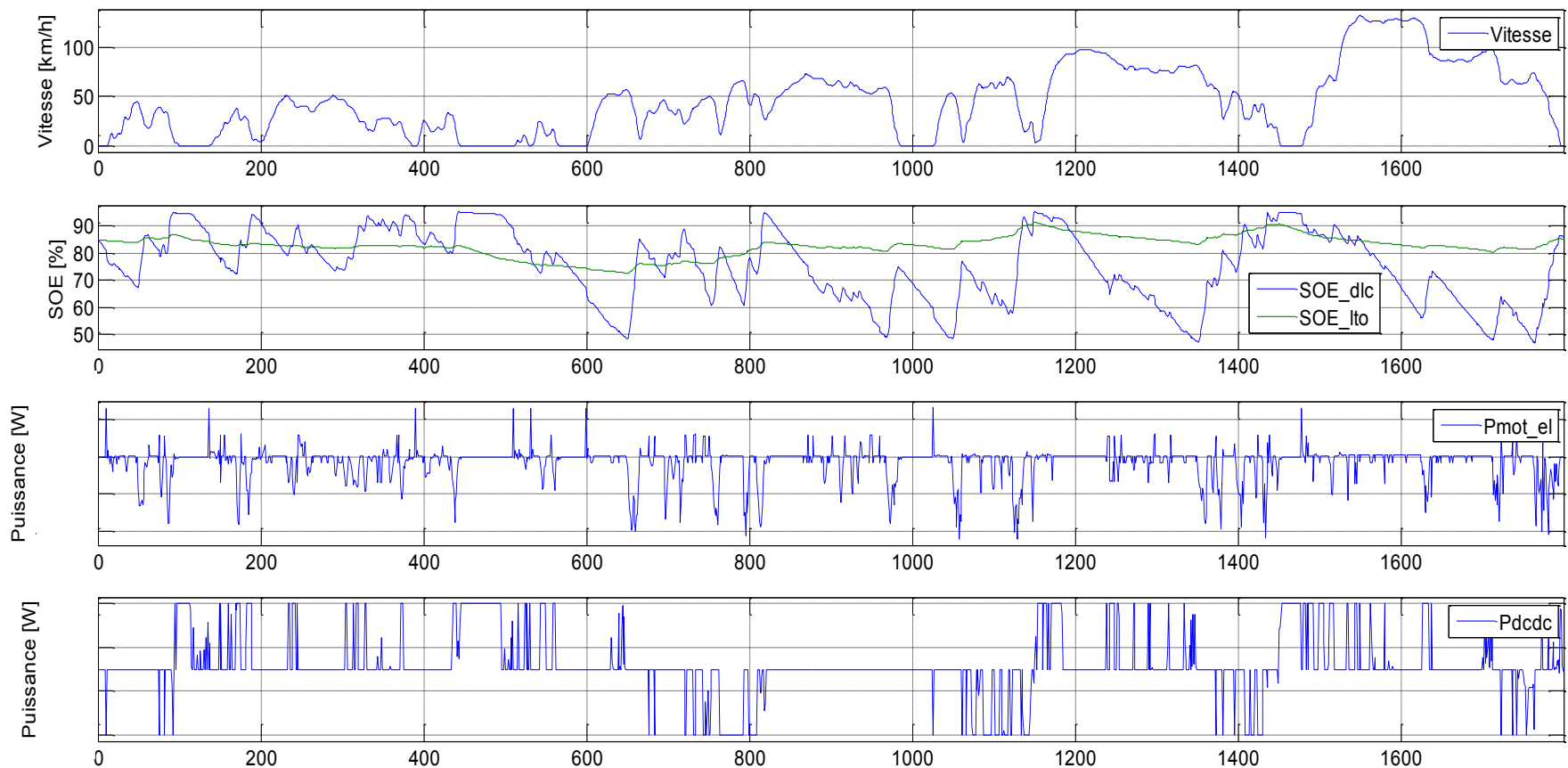
- ✓ Forte consommation accessoires sur le 14V



✓ Conditions dégradées



- ✓ **Résolution du problème de commande optimale hors ligne, via la programmation dynamique**



- ✓ **Commande en ligne retenue :**
 - Application de l'équivalent consommation minimization strategy (ECMS)
 - Stratégie dérivée du principe du Maximum de Pontryagin

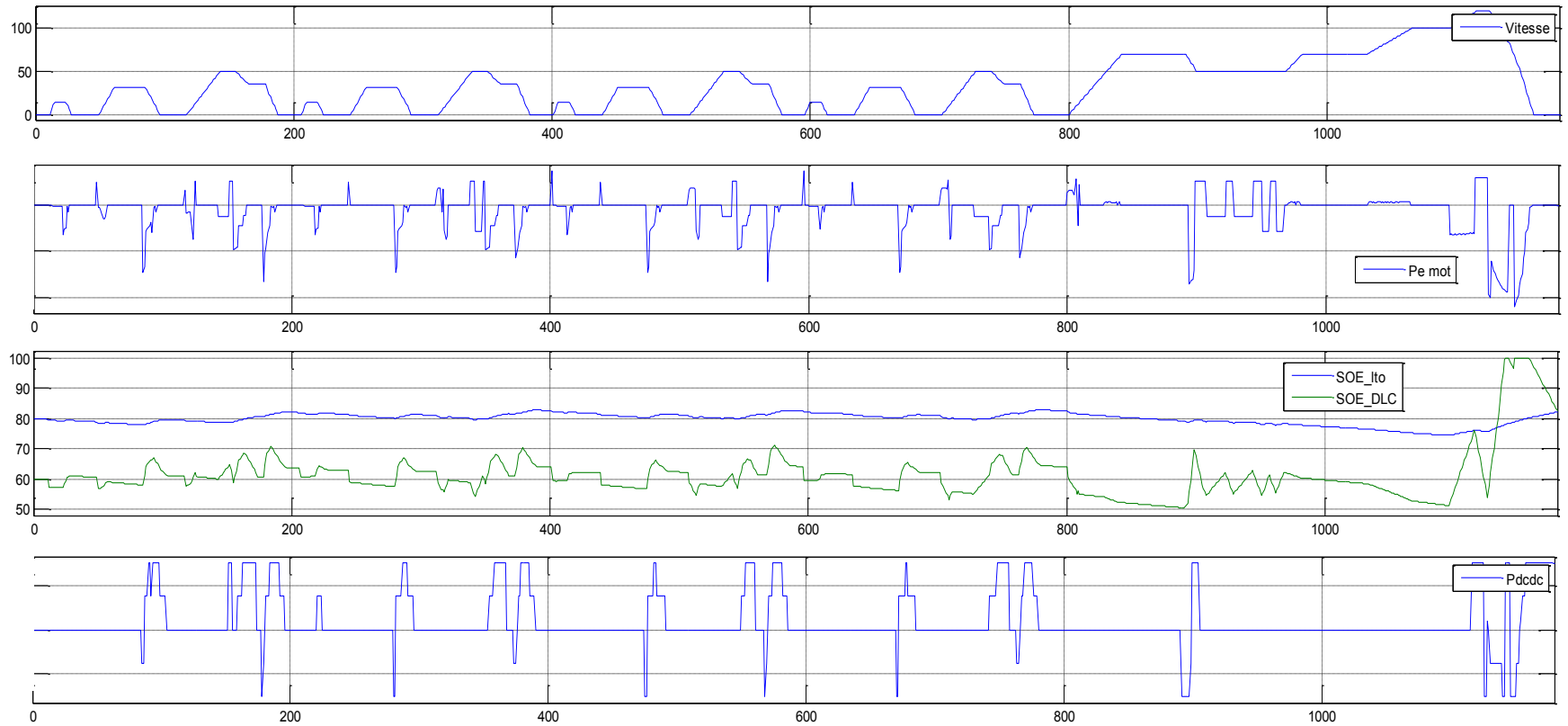
$$\mathbf{u}_{opt}(t) = \operatorname{argmin}(H(\mathbf{u}, \mathbf{s}, \mathbf{x}, t))$$

$$H(\mathbf{u}, \mathbf{s}, \mathbf{x}, t) = \dot{m}_{carb}(u_1, t) \cdot PCI + s_1(t) \cdot P_{ech1}(\mathbf{u}, x_1, t) + s_2(t) \cdot P_{ech2}(\mathbf{u}, x_2, t)$$

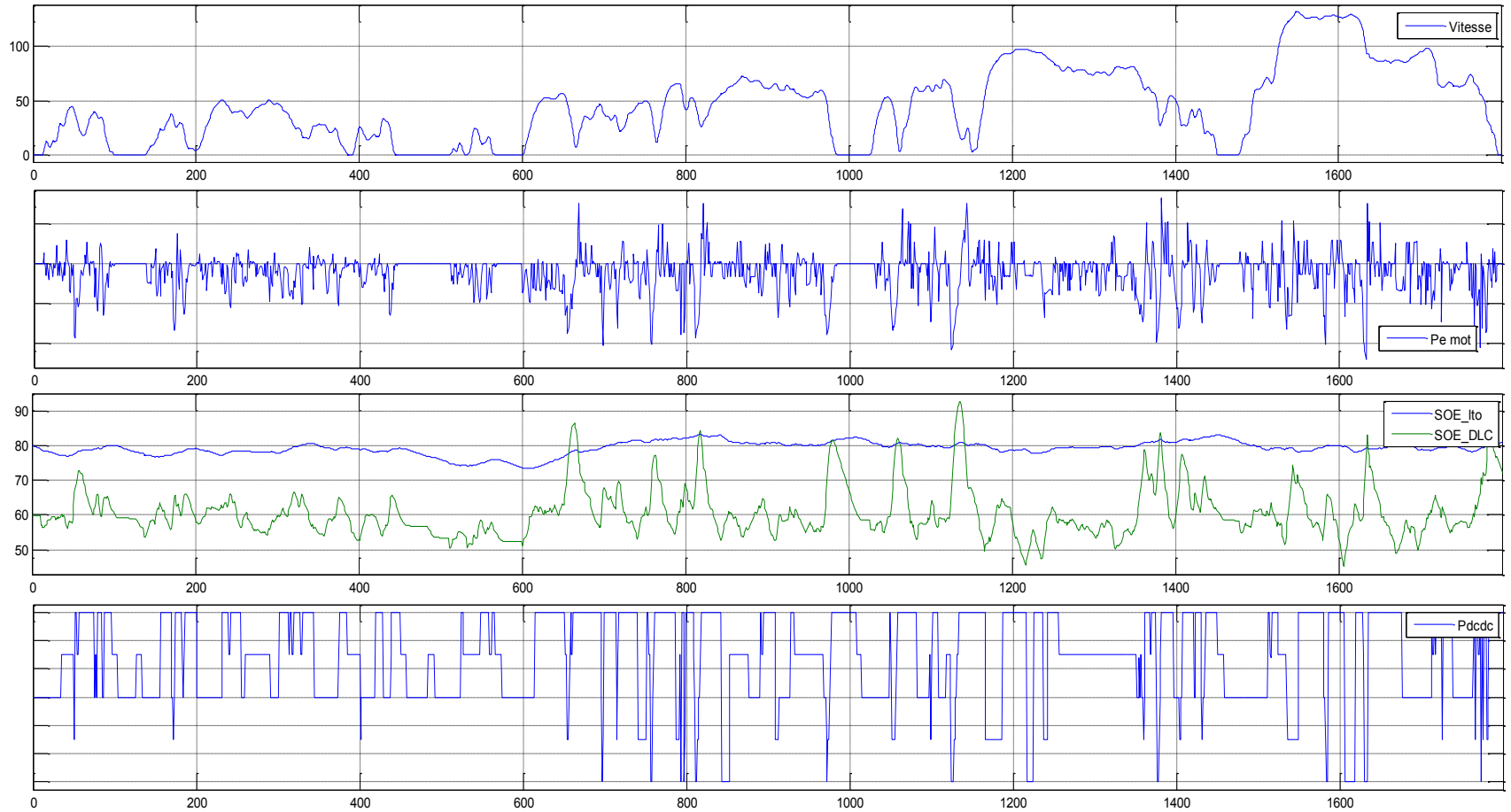
$$\mathbf{u} = \begin{Bmatrix} u_1 \\ u_2 \end{Bmatrix} = \begin{Bmatrix} P_{ond} \\ P_{DCDC} \end{Bmatrix} \quad \mathbf{x} = \begin{Bmatrix} x_1 \\ x_2 \end{Bmatrix} = \begin{Bmatrix} SoE_{BAT1} \\ SoE_{BAT2} \end{Bmatrix},$$

Avec adaptation en ligne des facteurs d'équivalence s_1 et s_2 pour réguler les SoE autour d'une valeur cible

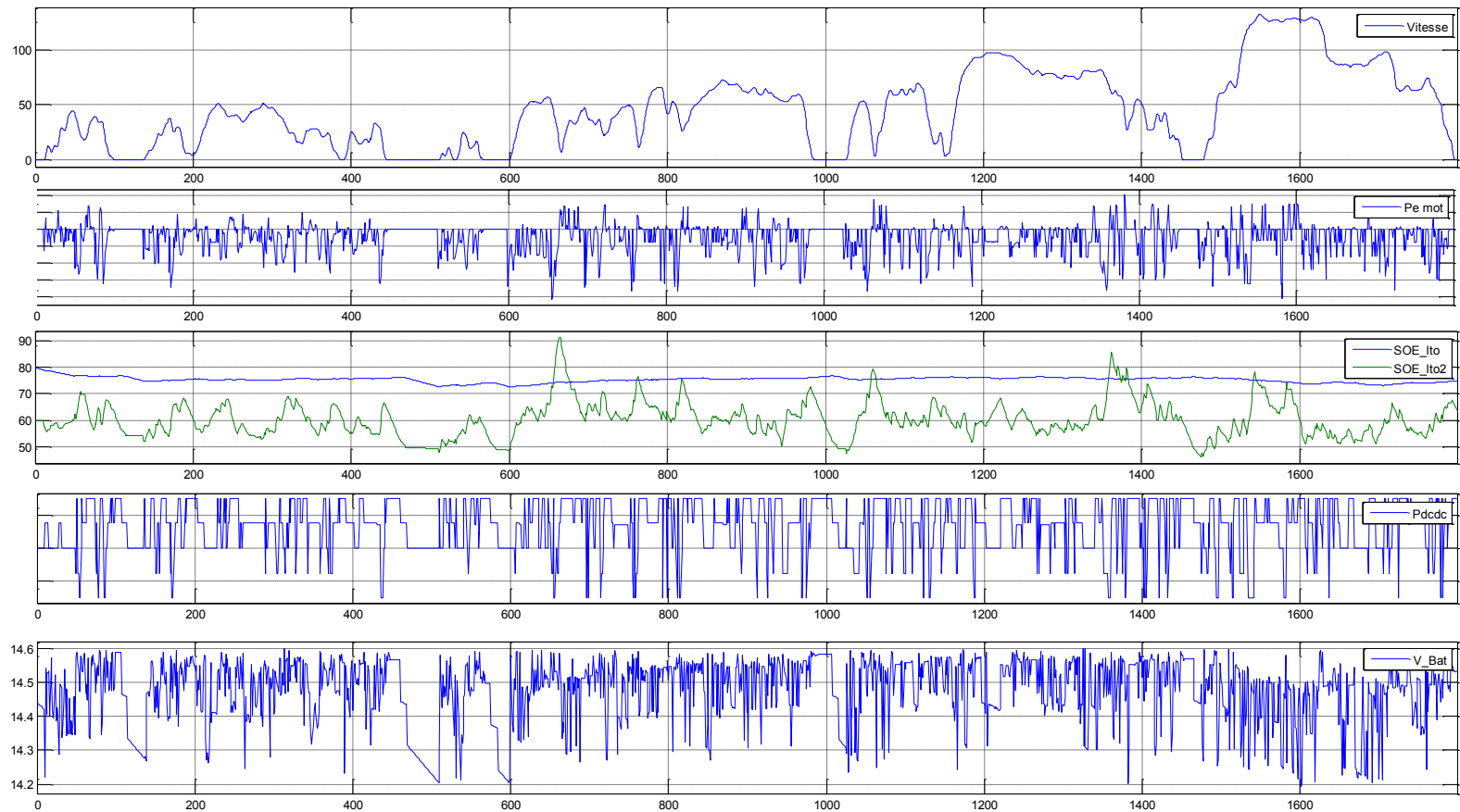
Commande en ligne : résultats



Commande en ligne : résultats



✓ **Cas de contraintes fortes sur la puissance batterie ($14,2 \leq V_1 \leq 14,6$)**



- ✓ **Problème de commande optimale :**
 - 2 commandes, 2 états
 - Contraintes couplées commandes-états

- ✓ **Intérêt d'évaluer à priori le domaine de commande**

- ✓ **L'optimisation énergétique contribue à préserver l'état de santé de la batterie Li-ion**

- ✓ **ECMS en ligne bien adaptée à la commande du système à 2 états**

[Merci pour votre attention](#)